

ΠΡΑΚΤΙΚΑ ΤΗΣ ΑΚΑΔΗΜΙΑΣ ΑΘΗΝΩΝ

ΣΥΝΕΔΡΙΑ ΤΗΣ 27^{ης} ΜΑΡΤΙΟΥ 1980

ΠΡΟΕΔΡΙΑ ΓΕΩΡΓΙΟΥ Ε. ΜΥΛΩΝΑ

ΓΕΩΛΟΓΙΑ.— Ἐμπλουτισμὸς τῶν φωσφοριτῶν Δρυμῶνος διὰ τῆς μεθόδου ἐπιπλεύσεως, ὑπὸ *Λ. Μούσουλον - Α. Κοντοπούλον - Ν. Ποταμιάνον**. Ἀνεκοινώθη ὑπὸ τοῦ Ἀκαδημαϊκοῦ κ. Λ. Μούσουλον.

Οἱ φωσφορῖτες τῆς Ἡπείρου συνδέονται μὲ συγκεκριμένο στρωματογραφικὸ δρίζοντα μέσα στὰ ἵζήματα τῆς Ἰονίου Ζώνης. Ὁ δρίζοντας δὲ αὐτὸς ἀποτελεῖ μέλος τῆς σειρᾶς τῆς Βίγκλας καὶ εὑρίσκεται παρὰ τὴν κορυφὴν τῆς σειρᾶς αὐτῆς, πλησίον τῆς ἐπαφῆς μὲ τοὺς ἀσβεστολίθους τοῦ Ἀνωτέρου Σενωνίου.

Ο φωσφοροῦχος δρίζοντας ἔχει πάχος 5 ἔως 10 μ. καὶ συνίσταται ἀπὸ ἐναλλαγὲς λεπτῶν στρωμάτων ἀνοικτόχρωμου ἢ καὶ μέλανος κερατολίθου καὶ λευκοῦ ἔως ὑποκιτρίνου ἀσβεστολίθου. Ἐντὸς τοῦ τελευταίου παρουσιάζονται λεπτὲς ἐνστρώσεις ὑποκιτρίνου φωσφορίτη.

Ἡ περιεκτικότητα σὲ P_2O_5 εἶναι χαμηλὴ καὶ μεταβάλλεται μέσα σὲ εὐρέα δρια, συνήθως δὲ δὲν ὑπερβαίνει τὸ 5 ἔως 7 %. Σὲ δρισμένες ὅμως θέσεις, ἐκεῖ δύπον οἱ συνθῆκες διαβρώσεως ἐπέτρεψαν εὐχερῷ διείσδυση τῶν ὁμβρίων ὑδάτων, διὰ τοῦτο γίνεται ἀνάπτυξη ἐκτεταμένων, κατὰ τὸ μᾶλλον ἢ ἥττον, συγκεντρώσεων πλουσιωτέρου μεταλλεύματος, ποὺ συνιστοῦν τὰ λεγόμενα «κοιτά-

* L. MOUSSOULOS - A. CONTOPOULOS - N. POTAMIANOS, **Beneficiation of the Drymonas Phosphorite by Flotation.**

σματα ἀποσαθρωμένου φωσφορίτη». Τέτοια κοιτάσματα ἔχουν π. χ. ἐντοπισθεῖ ὑπὸ τοῦ Ἰνστιτούτου Γεωλογικῶν καὶ Μεταλλευτικῶν Ἐρευνῶν (Ι. Γ. Μ. Ε.), στὴν περιοχὴ Δρυμῶνος τοῦ Νομοῦ Πρεβέζης καὶ σὲ διάφορες ἄλλες περιοχὲς τοῦ Νομοῦ Ἰωαννίνων.

Τὰ κοιτάσματα Δρυμῶνος ἔγκλείουν ἀποθέματα, ποὺ κατὰ τὸν ὑπολογισμοὺς τοῦ Ι.Γ.Μ.Ε., ὑπερβαίνουν τὰ 6.000.000 τόννους, μὲ μέση περιεκτικότητα περίπου 18% P_2O_5 . Τὰ ἀποθέματα αὐτὰ εὑρίσκονται κάτω ἀπὸ συνθῆκες εὐκόλου ἔξορύξεως καὶ μποροῦν νὰ ἀποτελέσουν ἀντικείμενο βιομηχανικῆς ἀξιοποιήσεως, ἐφ' ὅσον δοθεῖ ἴκανοποιητικὴ λύση στὸ πρόβλημα τοῦ ἐμπλουτισμοῦ.

Γιὰ τὴν ἀναζήτηση μᾶς τέτοιας λύσεως κατεβλήθησαν, ὑπὸ τὴν αἰγίδα τοῦ Ὑπουργείου Βιομηχανίας, ἐπίπονες προσπάθειες μὲ τὴ συνεργασία ἔνων χωρὶς ὅμως ἀποτέλεσμα. Σὲ κάποια φάση ζητήθηκε ἀπὸ τὸν νῦν ὑπουργὸν Βιομηχανίας ἡ γνώμη μας καὶ ἔτσι μᾶς δόθηκε ἡ εὐκαιρία νὰ ὑποδείξουμε τὴν εὐρεῖα χρησιμοποίηση τοῦ Ἑλληνικοῦ ἐπιστημονικοῦ δυναμικοῦ γιὰ τὴν ἐπίλυση ἐνὸς προβλήματος ποὺ ἔχει τόση σημασία γιὰ τὴ χώρα του.

Στὴν παροῦσα ἔργασία ἀναλύονται οἱ λεπτομέρειες ἐνδιαφέρουσας μεθόδου ἐμπλουτισμοῦ, στὴν δόπια κατέληξαν οἱ σχετικὲς ἔρευνες ποὺ διεξήχθηκαν ὑπὸ τῶν συγγραφέων στὰ ἔργαστήρια ἐμπλουτισμοῦ τῆς Γενικῆς Ἐταιρείας Μελετῶν, Ἐρευνῶν καὶ Ἐκμεταλλεύσεων, θυγατρικῆς Ἐταιρείας τῆς ΕΤΒΑ. Πρόκειται περὶ συνθέτου μεθόδου ταξινομήσεως - ἐπιπλεύσεως, ἡ δόπια ἐπιτυγχάνει, κατὰ τρόπο οἰκονομικὸ καὶ σταθερό, τὴν ἀπομάκρυνση τῶν ἔνων προσμίξεων καὶ προσφέρει ἀσφαλῆ λύση τοῦ προβλήματος.

* * *

Γιὰ τὴ μελέτη τοῦ ἐμπλουτισμοῦ χρησιμοποιήθηκε ἀντιπροσωπευτικὸ δεῖγμα ἀπὸ τὰ κοιτάσματα τοῦ Δρυμῶνος, ποὺ τέθηκε στὴ διάθεσή μας ἀπὸ τὸ Ἰνστιτούτο Γεωλογικῶν καὶ Μεταλλευτικῶν Ἐρευνῶν (Ι. Γ. Μ. Ε.).

Στὸν πίνακα I δίδονται τὰ χημικὰ χαρακτηριστικὰ τοῦ ἐν λόγῳ δείγματος σύμφωνα μὲ τοὺς προσδιορισμοὺς τῶν Ἐργαστηρίων τῆς Γενικῆς Ἐταιρείας Μελετῶν, Ἐρευνῶν καὶ Ἐκμεταλλεύσεων (Γ.Ε.Μ.Ε.Ε.). Πληροφορίες πάνω στὴν κοκκομετεξικὴ σύσταση αὐτοῦ καὶ τὴ χημικὴ ἀνάλυση τῶν διαφόρων κλασμάτων παρέχει ὁ πίναξ II.

Π Ι Ν Α Ζ Ι.

Ποιοτικά χαρακτηριστικά του μεταλλεύματος Δρυμώνος.

P ₂ O ₅ %	17,03	Fe %	1,54
CaO	29,01	Cl	0,25
Al ₂ O ₃	4,30	A. Π. (230 ⁰ C)	1,43
Fe ₂ O ₃	2,31	A. Π. (1000 ⁰ C)	0,388
SiO ₂	36,64		
CaO/P ₂ O ₅			1,704
(Al ₂ O ₃ + Fe ₂ O ₃) / P ₂ O ₅			0,388
P ₂ O ₅ / F			11,06

Από απόψεως ορυκτολογικής συστάσεως, οι γενόμενοι προσδιορισμοί διὰ περιθλάσσεως άκτινων X δίδουν ως κύρια συστατικά ορυκτά τὸν φωσφορίτη [Ca₃(PO₄)₂ · η H₂O], τὸν χαλαζία (a · SiO₂) καὶ τὸν άσβεστίτη (CaCO₃). Οἱ μικροσκοπικὲς δὲ ἔξετάσεις δεικνύουν, ὅτι τὰ ορυκτὰ αὐτὰ ἀπαντοῦν σὲ πέντε χαρακτηριστικὲς φάσεις τῶν διοίων τυπικὲς ἀναλύσεις δίνει ὁ πίνακας III.

Απὸ τὰ στοιχεῖα τῶν παραπάνω πινάκων καὶ τῶν μικροσκοπικῶν ἔξετάσεων δῆλογούμεθα στὶς ἔξῆς διαπιστώσεις :

1. Φορεῖς τῶν προσμέτεων Fe₂O₃ καὶ Al₂O₃ εἶναι τὰ ψιλομερῆ ἀργιλικὰ ὄντα καὶ ὄχι τὰ βασικὰ συστατικὰ τοῦ μεταλλεύματος. Εἶναι, κατὰ συνέπεια, ἐφικτὸς ὁ ἔλεγχος τῆς εἰς Fe₂O₃ καὶ Al₂O₃ περιεκτικότητας δι' ἀπομακρύνσεως τῶν ὄντων τούτων.

2. Τὰ εἰς τὸ μετάλλευμα χονδρὰ τεμάχια ἀποτελοῦνται βασικὰ ἀπὸ άσβεστόλιθο καὶ κερατόλιθο καὶ μποροῦν νὰ ἀπομακρυνθοῦν ἐξ ὑπαρχῆς χωρὶς νὰ ἐπέρχεται ἀπαράδεκτη ἀπώλεια σὲ P₂O₅.

3. Τὸ μέγιστο τοῦ P₂O₅ ενδισκεται στὰ ἐνδιάμεσα κοκκομετρικὰ κλάσματα, ὅπου ἡ περιεκτικότητα ἐπηρεάζεται ἀπὸ τὰ ορυκτὰ CaCO₃ καὶ a-SiO₂. Ἡ προσπάθεια θὰ πρέπει νὰ στραφεῖ πρὸς τὴν διερεύνηση τῆς δυνατότητας ἀπομακρύνσεως τῶν ορυκτῶν αὐτῶν.

4. Ἡ δομὴ τοῦ μεταλλεύματος καὶ ἴδιαιτερα ἐκείνη τῶν μικτῶν φάσεων, δηλαδὴ τοῦ φωσφορίτου ἀσβεστολίθου, κερατολίθου καὶ ἀσβεστοκερατολίθου, θὰ πρέπει νὰ ἀποκλείει τὴν δυνατότητα προωθημένης ἀπελευθερώσεως μεταξὺ τῶν

Κοικομετρική σύσταση τοῦ μεταλλεύματος Δρυμώνος.

Κόσκινο	Βάρος %	P ₂ O ₅ %		CaO %		$\frac{CaO}{P_2O_5}$
		Περιεχόμενο Περιεχόμενο της της	Καταστάση Καταστάση	Περιεχόμενο Περιεχόμενο της της	Καταστάση Καταστάση	
+ 50 mm	22,4	7,39	10,0	22,10	1,83	2.991
+ 25 »	13,8	13,13	11,0	25,60	13,1	1.949
+ 20 »	4,9	15,74	4,7	25,95	4,7	1.649
+ 15 »	6,1	19,53	7,2	27,77	6,2	1.422
+ 12 »	6,4	20,34	8,0	29,85	7,0	1.429
+ 10 »	6,9	22,16	9,3	30,78	7,8	1.389
+ 6 »	8,6	21,85	11,4	32,60	10,4	1.492
+ 3 »	12,0	21,60	15,6	30,74	13,6	1.423
+ 1 »	14,1	21,02	18,0	28,59	14,8	1.361
+ 0,417 »	2,9	16,91	3,0	22,57	2,4	1.335
+ 0,297 »	0,8	16,51	0,8	24,10	0,7	1.460
+ 0,149 »	0,5	16,03	0,4	21,39	0,4	1.334
+ 0,105 »	0,2	16,41	0,2	21,86	0,2	1.332
+ 0,058 »	0,1	16,94	0,1	22,10	0,1	1.305
+ 0,040 »	0,1	16,63	0,1	22,73	0,1	1.367
- 0,040 »	0,2	16,61	0,2	24,52	0,2	1.477
Ανάλυση έξ ύπολογισμού		100,0	16,50	100,0	27,10	100,0
						1.643

II.

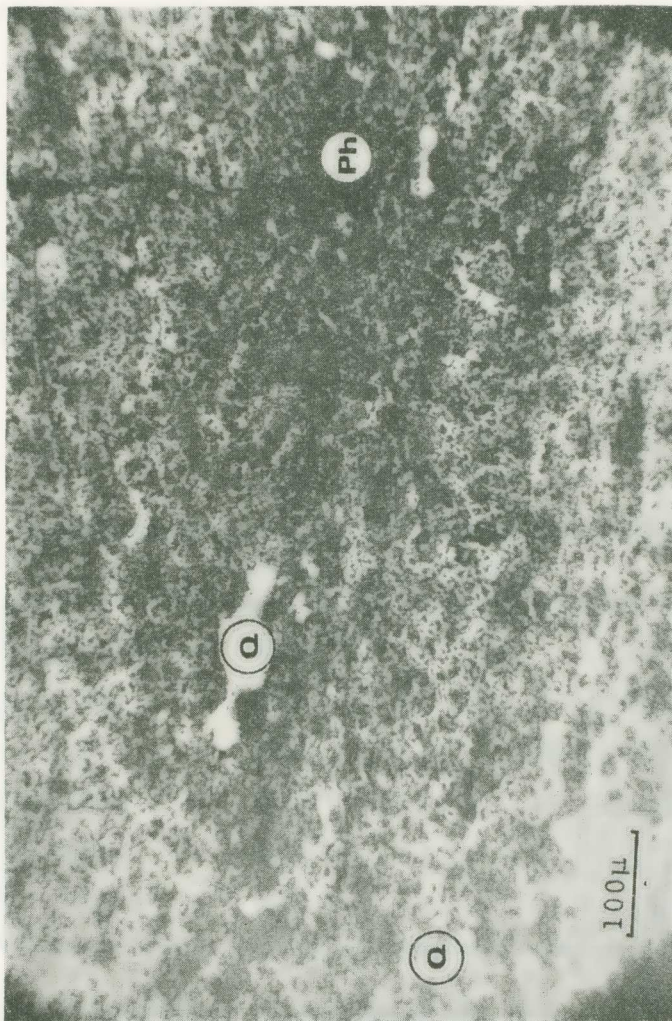
Χημική άναλυση τῶν διαφόρων κλασμάτων.

Περιεχόμενο	Al ₂ O ₃ %		Fe ₂ O ₃ %		$\frac{\text{Al}_2\text{O}_3 + \text{Fe}_2\text{O}_3}{\text{P}_2\text{O}_5}$	Fe %		Cl %		SiO ₂ %	
	Περιεχόμενο	Καταστάση	Περιεχόμενο	Καταστάση		Περιεχόμενο	Περιεχόμενο	Περιεχόμενο	Περιεχόμενο	Περιεχόμενο	
1,06	5,6	2,04	18,7		0,403	0,62	0,20		51,30		
2,24	7,3	2,14	12,1		0,333	1,90	0,20		41,56		
3,31	3,8	2,14	4,3		0,346	1,51	0,25		—		
3,59	5,1	2,14	5,4		0,259	1,29	0,20		—		
4,43	6,7	2,31	6,1		0,325	1,19	0,25		—		
4,71	7,6	2,31	6,5		0,317	2,11	0,25		—		
5,28	10,7	2,35	8,3		0,349	1,69	0,20		—		
6,12	17,2	2,60	12,8		0,412	1,29	0,20		—		
7,48	24,7	3,16	18,3		0,483	1,66	0,25		—		
9,82	6,8	3,65	4,3		0,797	1,19	0,25		—		
10,18	1,9	3,87	1,3		0,851	1,19	0,25		—		
10,15	1,3	4,05	0,8		0,886	1,20	0,25		—		
10,32	0,5	4,17	0,4		0,882	2,50	0,25		—		
10,32	0,2	4,29	0,2		0,863	2,90	0,20		—		
9,65	0,2	4,29	0,2		0,838	2,20	0,25		—		
9,34	0,4	4,29	0,3		0,821	2,80	0,20		28,60		
4,26	100,0	2,44	100,0		0,406	1,54	0,25		36,64		

Π Ι Ν Α Ξ ΙΙΙ.

Τυπικές άναλύσεις δρυκτολογηκών συστατικών του μεταλλεύματος Δρυμώνος.

n/n	Σ υστατικό	Χημική άνάλυση			'Αχτινογραφικές φάσεις	Ca ₃ (PO ₄) ₂ %	CaCO ₃ %	SiO ₂ %
		P ₂ O ₅ %	CaO %	SiO ₂ %				
1	² Ασβεστόλιθος . . .	1.26	48.17	1.68	CaCO ₃	2.75	83.96	1.68
2	Φωσφορούχος ασβεστόλιθος	11.87	46.34	0.90	CaCO ₃ · Ca ₃ (PO ₄) ₂ H ₂ O	25.92	58.10	0.90
3	Κερατόλιθος τεφρός	0.84	2.30	89.14	a-SiO ₂	1.86	2.30	89.14
4	Φωσφορίτης	27.30	41.59	7.38	Ca ₃ (PO ₄) ₂ n H ₂ O, a-SiO ₂	83.96	2.75	7.38
5	Φωσφορούχος ασβεστοκεφαλόλιθος . . .	10.17	15.58	57.52	Ca ₃ (PO ₄) n H ₂ O, a-SiO ₂ CaCO ₃	22.2	6.38	57.52



Εικ. 1. Μικροφωτογραφία τεμάχιου φυσικού αριθμητού πέτρα που περιέχει μεγάλης ποσότητας μεταγενέτης αργιτίθιου με μεταγενέτης αργιτίθιου.
 $P_2O_5 = 11,87\%$, $CaO = 46,34\%$, $SiO_2 = 0,90\%$.

δρυκτῶν $\text{Ca}_3(\text{PO}_4)_2$, CaCO_3 καὶ $\alpha\text{-SiO}_2$) ὥστε μπορεῖ νὰ θεωρεῖται δυσχερής, ἡ λήψη συμπυκνωμάτων ὑψηλῆς περιεκτικότητας σὲ P_2O_5 κατὰ τρόπο σταθερὸ καὶ μόνιμο. Λαμβάνοντας ὑπὸ δύψη τὶς ἀναλύσεις τοῦ πίνακος III, θὰ πρέπει νὰ ἀναμένεται, ὅτι ἡ περιεκτικότητα αὐτὴ θὰ εὑρίσκεται σὲ σχετικῶς καμηλὰ ἐπίπεδα.

* * *

Μὲ βάση τὶς παραπάνω διαπιστώσεις προχωρήσαμε στὴν ἔρευνά μας θέσαντες ώς στόχο τὴν ἀναζήτηση τρόπου λήψεως ἐνὸς ἐμπλουτίσματος ποὺ νὰ ἐμπίπτει, κατὰ τὸ δυνατό, μέσα στὰ δρια τῶν προδιαγραφῶν, ὅπως καθορίζονται ἀπὸ τὰ ποιοτικὰ χαρακτηριστικὰ τῶν εἰσαγομένων σήμερα ἐμπλουτισμάτων στὴν Ἑλλάδα. Στὸν πίνακα IV δίδονται τὰ ποιοτικὰ χαρακτηριστικὰ τῶν ἐμπλουτισμάτων ποὺ εἰσήχθησαν τὸ 1978.

Π Ι Ν Α Ζ Ι V.

**Ποιοτικὰ χαρακτηριστικὰ τῶν κατὰ τὸ 1978 εἰσαχθέντων
ἐμπλουτισμάτων φωσφορίτη.**

P_2O_5	29,00	ξως	32,21 %
$\text{CaO}/\text{P}_2\text{O}_5$	1,59	»	1,69
$\text{Fe}_2\text{O}_3 + \text{Al}_2\text{O}_3$	0,35	»	1,65
F/SiO_2	1,00	»	2,08
Cl	0,02	»	0,057
CO_2	4,23	»	8,00

Ἐκκινώντας βασικὰ ἀπὸ τὴν παρατήρηση ὅτι οἱ ἐπιβλαβεῖς προσμίξεις τῶν δξειδίων τοῦ σιδήρου καὶ ἀλουμινίου συγκεντρώνονται, κατὰ προτίμηση, στὸ ψιλομέρὲς μέρος, ὑποβάλλαμε τὸ μετάλλευμα σὲ λειοτρίβηση — 60 mesh καὶ στὴ συνέχεια διαχωρίσαμε καὶ ἀπορρίψαμε τὸ κλάσμα — 350 mesh.

Στὸν πίνακα V δίδονται οἱ ἀναλύσεις τῶν δύο κλασμάτων — 60 + 350 καὶ — 350 mesh καὶ οἱ ἀντίστοιχες σ' αὐτὰ κατανομὲς P_2O_5 .

Π Ι Ν Α Ξ V.

Διάσπαση τοῦ Rom σὲ δύο κλάσματα — 60 + 350 καὶ — 350 mesh καὶ ἀναλύσεις τούτων.

	Κλάσμα — 60 + 350 mesh	Κλάσμα — 350 mesh	Άρχ. δεῖγμα Rom
Βάρος % τοῦ Rom . . .	89.1 %	10.9 %	100.0 %
Περιεκτικότητα P_2O_5 . .	16.95 %	17.66 %	17.05 %
Κατανομὴ P_2O_5	88.7 %	11.3 %	100.0 %
CaO / P_2O_5	1.751	1.329	1.704
$(Al_2O_3 + Fe_2O_3) / P_2O_5$.	0.233	1.342	0.352

Σύμφωνα μὲ τὰ στοιχεῖα τοῦ παραπάνω πίνακα φαίνεται εὐχερής ὁ διαχωρισμὸς ἐνὸς κλάσματος — 60 + 350 mesh ποὺ περιέχει τὸ 88,7 % τοῦ συνολικοῦ P_2O_5 μὲ σημαντικὰ βελτιωμένη σχέση $(Al_2O_3 + Fe_2O_3) / P_2O_5$. Ἡ περιεκτικότητα P_2O_5 στὸ κλάσμα αὐτό, τῆς τάξεως τοῦ 17 %, εἶναι φυσικὰ χαμηλὴ λόγῳ τῆς συνυπάρξεως μετὰ τοῦ φωσφορίτη τῶν συνδόμων $CaCO_3$ καὶ a- SiO_2 . Καὶ τὸ πρόβλημα ποὺ παραμένει εἶναι βασικὰ ἡ ἀπομάκρυνση τῶν συνδόμων αὐτῶν. Ἀλλὰ ἔνα τέτοιο πρόβλημα μπορεῖ νὰ ἀντιμετωπισθεῖ ἀποτελεσματικὰ διὰ τῆς τεχνικῆς τῆς ἐπιπλεύσεως σὲ δύο στάδια. Κατὰ τὸ πρῶτο διαχωρίζεται ἔνα μικτὸ συμπύκνωμα φωσφορίτη - ἀσβεστίτη ἐνῶ παρεμποδίζεται ἡ ἐπιπλευση τοῦ χαλαζία. Στὸ δεύτερο στάδιο τὸ μικτὸ αὐτὸ συμπύκνωμα διασπᾶται δι' ἐπιπλεύσεως τοῦ ἀσβεστίτη.

Ἡ ἐπιπλευση τοῦ πρώτου σταδίου διεξάγεται κάτω ἀπὸ συνθῆκες βασικοῦ περιβάλλοντος ($pH \approx 9$) μὲ χρησιμοποίηση ὡς συλλεκτῶν λιπαρῶν δεξέων ἢ σαπώνων τούτων καὶ προσθήκη πυριτικοῦ νατρίου πρὸς παρεμπόδιση τῆς ἐπιπλεύσεως τοῦ χαλαζία. Φωσφορίτης καὶ ἀσβεστίτης ἐπιπλέονταν ταυτόχρονα καὶ δίδουν μικτὸ συμπύκνωμα. Ὁ ἀσβεστίτης παρουσιάζει μάλιστα μεγαλυτέρᾳ ἐπιπλευσιμότητα ἀπὸ τὸν φωσφορίτη κατὰ τὴν ἐπιπλευση μὲ λιπαρὰ δέξα [2].

Ο χαλαζίας ἐπιπλέει, ώς γνωστό, σὲ οὐδέτερο περιβάλλον ($pH \approx 7$) μὲ κατιονικοὺς συλλέκτες ὡς οἱ ἀμῖνες, ἀλλὰ ἐνεργοποιούμενος ἀπὸ ιόντα βαρέων

μετάλλων ὅπως π.χ. τοῦ σιδήρου, χαλκοῦ, κ.λ.π. ἀποκτᾶ καλὴ ἐπιπλευσιμότητα κάτω ἀπὸ τὶς προαναφερθεῖσες συνθῆκες ἐπιπλεύσεως τοῦ φωσφορίτη - ἀσβεστίτη [2].

Πρὸς παρεμπόδιση λοιπὸν τῆς ἐνεργοποιήσεως αὐτῆς χρησιμοποιοῦνται ἀντιδραστήρια ὅπως τὸ πυριτικὸν νάτριο. Τὰ ἀντιδραστήρια αὐτὰ προστίθενται στὸν πολφὸν τῆς ἐπιπλεύσεως μετὰ τὴν ὁύθμιση τοῦ pH διότι, ἐν ἐναντίᾳ περιπτώσει, ἡ ἐπίδρασή τους ἐπὶ τοῦ χαλαζία ἔξασθενίζει σημαντικά [3]. Πράγματι, σὲ ὅξινο πολφό, εὑνοεῖται ἡ ἀγκύρωση τῶν ἰόντων τοῦ πυριτικοῦ νατρίου ἐπὶ τῶν ἐπιφανειῶν τοῦ χαλαζία μὲ ἀποτέλεσμα τὴν μείωση τῆς ἐπιπλευσιμότητας αὐτοῦ [3].

Στὸ δεύτερο στάδιο, τὸ κατὰ τὰ ἀνωτέρω λαμβανόμενο μικτὸ συμπύκνωμα φωσφορίτη - ἀσβεστίτη καθορίζεται ἀπὸ τὸν ἀσβεστίτη, δι' ἐπιπλεύσεως. Πρόκειται περὶ ἀντιστρόφου ἐπιπλεύσεως, ὅπου ὁ ἀσβεστίτης συλλέγεται διὰ λιπαρῶν ὁξέων παρουσίᾳ διαλυτῶν φωσφορικῶν ἰόντων, τὰ δόποια παρεμποδίζουν ἀποτελεσματικὰ τὴν ἐπίπλευση τοῦ φωσφορίτη. Ἡ ἐπίπλευση αὐτὴ εὑνοεῖται [4] ἀπὸ ἔλαφος ὁξινού περιβάλλον (pH ≈ 6) ὅπου ἡ ὑπερβολικὴ κατανάλωση συλλέκτου γιὰ τὴν συντήρηση τοῦ ἀπαραίτητου γιὰ τὴν ἐπίπλευση ἀφροῦ ἀντιμετωπίζεται μὲ προσθήκη θειϊκῆς δωδεκακυλαμίνης τοῦ νατρίου, ποὺ κυκλοφορεῖ στὸ ἐμπόριο ὑπὸ τὴν ἐπωνυμία Τεχαρόν K 12. Ὁ ἀφριστής αὐτὸς διαλύεται ἐντὸς τοῦ ὕδατος καὶ κατὰ συνέπεια δὲν ἀπαιτεῖται Conditioning γιὰ τὴν ἔξασφάλιση τῆς διασπορᾶς του.

Καὶ στὰ δύο στάδια τῆς ἐπιπλεύσεως τυχὸν παρουσίᾳ, σὲ σημαντικὴ ποσότητα, λεπτομερέστατου ὄντος (slimes), ἔξασκεῖ δυσμενῆ ἐπίδραση, ἀνεξάρτητα ἀπὸ τὴν ὀρυκτολογικὴν σύσταση. Τὸ μέγεθος κόκκου κάτω ἀπὸ τὸ δόποιο ἡ ἐπίδραση αὐτὴ καθίσταται ἀπαράδεκτη διαφέρει κατὰ περίπτωση καὶ πρέπει νὰ προσδιορισθεῖ πειραματικῶς.

* * *

Κατόπιν ὄρισμένων προκαταρκτικῶν πειραματισμῶν καὶ μετρήσεων καθορίσθησαν οἱ λεπτομέρειες τῆς διεξαγωγῆς τῶν δοκιμῶν τῆς ἐπιπλεύσεως καὶ ἔξετέλεσθη σειρὰ τέτοιων δοκιμῶν, ποὺ ἐπιβεβαίωσαν τὴν ἀπόδοσκοπτο λήψη ἐμπλουτίσματος ἔξασφαλισμένης ἐμπορευσιμότητας.

Στὸν πίνακα VI δίδονται τὰ ἀποτελέσματα τυπικῆς δοκιμῆς, κατὰ τὴν δόποιαν ἐκκινώντας ἀπὸ ἀρχικὸν δεῖγμα μὲ περιεκτικότητα 17.66% P₂O₅ ἔλήφθη ἐμπλούτισμα 29.92% P₂O₅ ποὺ ἀντιπροσωπεύει τὸ 33% τοῦ ἀρχικοῦ βάρους (rom) καὶ περιέχει τὸ 58.0% τοῦ ὄλικοῦ P₂O₅.

Ἄναλογα ἀποτελέσματα λαμβάνονται εὐχερῶς σὲ κάθε δοκιμὴ καὶ κρίνονται ἱκανοποιητικά. Στὸ σημεῖο δὲ αὐτὸν θὰ πρέπει νὰ διευχρινισθεῖ ὅτι δὲν ἔχει ἀκόμη

*Αποτελέσματα έμπλουτισμού μεταλλεύματος Δρυμώνος.

α/α	Προϊόντα έμπλουτισμοῦ	Βάρος %	$P_2O_5\%$	CaO	$Al_2O_3 + Fe_2O_3$
		$\Pi_{\theta}/\tau_{\eta_{\zeta}}$	Kar/μή	P_2O_5	P_2O_5
1	*Απορρίμματα Slimes	10,9	17,66	11,3	1.329
2	Στέρια προεμπλουτισμοῦ (*Επίλευση 1ου σταδίου)	30,3	5,62	10,0	1.250
3	Στέρια έμπλουτισμοῦ (*Επίλευση 2ου σταδίου)	25,8	13,80	20,7	2.153
4	*Έμπλουτισμα φωσφορίτου (1)	33,0	29,92	58,0	0.598
	*Αρχικό δείγμα (Rom)	100,0	17,03	100,0	1.704
					0.352

(1) Ο λόγος $P_2O_5 / F : 29,92 / 0,35 = 85,5$ και ή περιεκτικότητα σε γλωρόντα 0,25%.

διεξαχθεῖ ἡ κατάλληλη ἔρευνα γιὰ προσδιορισμὸ τῶν συνθηκῶν ἀριστοποιήσεως. Εἶναι ἐνδεχόμενο ἡ ἔρευνα αὐτὴ νὰ ὁδηγήσει σὲ βελτιώσεις σχετικὰ μὲ τὴν ποιότητα τοῦ λαμβανομένου ἐμπλουτίσματος καὶ τὴν ἐπιτυγχανομένη ἀπόληψη τοῦ P_2O_5 .

ΣΥΜΠΕΡΑΣΜΑΤΑ

Ἄπ ὅσα ἔξετέθησαν συνάγονται τὰ ἔξῆς συμπεράσματα :

1. Τὰ φωσφοροῦχα μεταλλεύματα τοῦ Δρυμῶνος ἐμπλουτίζονται εὐχερῶς καὶ προσφέρονται γιὰ παραγωγὴ ἐμπορευσίμων ἐμπλουτισμάτων διὰ τῆς τεχνικῆς τῆς ἐπιπλεύσεως σὲ δύο στάδια.
2. Κατὰ τὸ πρῶτο στάδιο παράγεται μικτὸ συμπύκνωμα φωσφορίτη - ἀσβεστίτη δι' ἐπιπλεύσεως μὲ λιπαρὰ δέξαια ἐντὸς τοῦ ἀλκαλικοῦ πολφοῦ, ἐνῶ ὁ χαλαζίας, ὑπὸ τὴν ἐπίδραση πυριτικοῦ νατρίου, συγκροτεῖται στὸ τέλμα.
3. Κατὰ τὸ δεύτερο στάδιο ἀπομακρύνεται ὁ ἀσβεστίτης ἀπὸ τὸ παραπάνω μικτὸ συμπύκνωμα δι' ἐπιπλεύσεως μὲ λιπαρὰ δέξαια ἐντὸς ἀσθενῶς δέξινου πολφοῦ, ὃπου ὁ φωσφορίτης κάτω ἀπὸ τὴν ἐπίδραση διαλυτῶν φωσφορικῶν ιόντων χάνει τὴν ἐπιλευσιμότητά του καὶ παραμένει στὸ τέλμα.
4. Καὶ στὰ δύο στάδια χρησιμοποιοῦνται ἀντιδραστήρια χαμηλοῦ κόστους καὶ εἶναι τέτοιας φύσεως ποὺ δὲν δημιουργοῦν ίδιαίτερα προβλήματα ρυπάνσεως.

S U M M A R Y

In the present paper a classification-flotation method for the beneficiation of the altered phosphorite deposits of Drymonas, Epirus, is described.

Initially, the + 50 mm and — 350 mesh fractions, which are carriers of undesirable impurities, are rejected. The rest is ground to — 60 mesh, and from the resulting material the — 30 mesh fraction is rejected. The remaining — 60 + 350 mesh material is subjected to a two-stage flotation treatment, producing a concentrate of satisfactory quality.

During the first flotation stage, a mixed phosphorite-calcite concentrate is produced, by using fatty acids as collectors in a slightly basic environment, quartz being depressed by sodium silicate additions. During the second stage, the mixed concentrate is splitted by floating

calcite with fatty acids in a slightly acidic environment, the phosphorite being depressed by additions of soluble phosphoric ions.

By the above process, the production of a phosphorite concentrate with quality characteristics suited to the industrial specifications, and with satisfactory P_2O_5 recovery ($\sim 55 - 60\%$) is achieved.

B I B L I O G R A F I A

1. D. L. Everhart, Evaluation of Phosphate Rock Deposits. Reprint No 71-H-72, SME-AIME 1971, 7 pp.
 2. D. A. Jones - W. A. Jordan, Flotation - Beneficiation of Phosphate Ores. U S. Pat. 3862 028 (1975).
 3. M. K. Orphy, Beneficiation of Low Grade Phosphate Ore. Mining and Mineral Engineering, May 1968.
 4. D. J. Johnston - J. D. Leja, Flotation Behaviour of Calcium Phosphate and Carbonate in Orthophosphates Solution. Paper presented at the 1972 CIM Conference, Montreal, Canada.
-